

III-6 締固め土の構成方程式について

—特に応力～ひずみ関係およびボアン＝比について—

東海大学海洋学部 正員 宋 永焜
名城大学理工学部 正員 関田富士夫

I 始めに アースダムや土構造物の変形解析に有限要素法を用いるには、先ず締固め土の定量的な応力～ひずみ解析が必要である。砂や含水比一定の自然地盤に対するこれらの解析については、すでに Duncan ⁽²⁾ の研究がある。この解析法の基礎をなすものは Kondner ⁽¹⁾ による双曲線の定式化である。一方、締固め土の応力～ひずみ関係については、前記の研究をもととして用いられる変数の他に締固め含水比が加わる。Daniel ⁽³⁾ や著者らは、この変数を考慮した関係について、すでにその一部を発表して来た。今回的研究では、これらの独立変数と締固め含水比の関係および変数相互間の関係などについて述べる。またフック法則の適用に必要なボアン＝比と変数の間の関係についてもその一部を述べる。

II 締固め構成方程式の定式化とその変動要因 3軸試験による土の応力～ひずみ曲線は一般に双曲線であり、Kondner によれば一般に次のようす直線として表せられる。

含水比一定ですると

$$\frac{\varepsilon}{\sigma} = a + b \varepsilon \quad (1) \quad \left\{ \begin{array}{l} \text{---(1)} \\ a = \frac{1}{E_i} \quad E_i = \text{初期弾性係数} \\ b = \frac{1}{(\sigma_i - \sigma_3)_{sat}} \quad (\sigma_i - \sigma_3)_{sat} = \text{極限応力} \end{array} \right.$$

---応力比 $R_f = \frac{(\sigma_i - \sigma_3)_f}{(\sigma_i - \sigma_3)_{sat}} = 0.9$ とき、また f_{abu} なら $\frac{E_i}{P_a} = K \left(\frac{\sigma}{P_a} \right)^n$ の関係を代入すると(1)式は

$$a = \frac{\varepsilon}{\frac{K \left(\frac{\sigma}{P_a} \right)^n}{P_a} + \frac{0.9 \varepsilon}{(\sigma_i - \sigma_3)_f}} \quad (2) \quad \left\{ \begin{array}{l} \text{---(2)} \\ K, n \text{ は実験常数} \\ P_a \text{ は大気圧, 普通大気圧とも} \\ (\sigma_i - \sigma_3)_f \text{ は破壊時の軸差応力} = f(\sigma) \end{array} \right.$$

となる。(2)式は応力～ひずみ関係が、含水比一定のもとで、直線の関係として表せられたことを示している。これまでの計算過程における変数は a , b , K , n , f であり、また $(\sigma_i - \sigma_3)_f$ は応力と直線関係にあるので、この時の常数を e , f とすると、これら2つが含水比とあることは締固め含水比とどんな関係にあるかが問題になつてくる。一方締固め土の非線形応答とひずみ関係の予測にフックの法則を適用するにはボアン＝比を知る必要がある。区分法によるとこの関係は次のようすである。

$$\Delta \varepsilon = \frac{4(\sigma_i - \sigma_3) + \Delta \sigma (1 - 2f)}{E_i} \quad (3)$$

III 本研究の結果と考察 以下本研究で用いた試験法は3軸非圧密非排水試験である(ロコテスト)。図-1 および図-2 は各締固め含水比における供試体の応力～ひずみ曲線を Kondner 法により再プロットした時の直線常数 a , b を圧縮側に対してプロットしたものである。 a の逆数は初期弾性係数である。図-1 から初期弾性係数は乾燥側では有利変化を示し、湿润側に入ると圧縮側の増加と

共に増加するところ。ただし弾性係数は湿润側で急激に減少する。一方 b 値の物理的意味はその逆数が抵抗力である。図-2 から含水比一定のもとでは、圧縮時の増加と共に抵抗力も増加するが乾燥側よりも湿润側でこの傾向が著しい。また破壊時ににおける軸差応力 ($\sigma_3 - \sigma_1$) は、一般に周圧力 σ_3 と直線的正関係を有しているが、この時の常数値 e 、 f 値と含水比に対してプロットしたもののが図-3 および図-4 である。 e 、 f 値とも大まかに荷重線に類似し、最高含水比付近で最大となる。ただし e 値では、荷重線エネルギーがあまり小エリと空気圧の影響の方が大きくなるので含水比の影響が鉛化してくる。 b 値の物理的意味は周圧 $\sigma_3 = 0$ の時ににおける破壊応力であるから一軸圧縮強度とみなすことができる。この強度は含水比にはほとんど直線的な強度である。図-5 は初期ボアソン比と周圧との関係を示したものである。ボアソン比は次の式で計算したものである。

$$v = \frac{\Delta \epsilon_r}{\Delta \epsilon_a} = \frac{(\epsilon_r - \epsilon_a)}{2 \Delta \epsilon_a} \quad \text{--- (4)}$$

ここで ϵ_r は体積ひずみ、 ϵ_a は軸ひずみである。含水比一定のもとでは、 v は直線関係にあり、乾燥側、と湿润側では傾向が異なる。すなわち乾燥側では、ボアソン比は周圧 σ_3 と共に増加し、湿润側では並の傾向にある。また破壊時ににおけるボアソン比も同様の傾向があることが実験的に知られており。

以上の実験結果をもとに図-5 Relationship between Initial Poisson Ratio and σ_3 として実験値による応力～ひずみ関係曲線と理論値によるものと比較すると、周圧の小エリと大エリでは少しひずみが大きいが、 σ_3 の大きいところでは、比較的良く一致していることが分かる。この結果は Daniel らの結論と一致する。

参考文献

1. Kondner, R.L (1963): Hyperbolic Stress-Strain Response, Cohesive Soils, Proc ASCE 89 (SM1) pp111-143.
2. Duncan, J.M and Chang, C.Y (1970): Nonlinear Analysis of Stress and Strain in Soils 96 (SM1) pp164-163
3. Daniel, D.E and Olsen, R.E (1974): Other-strain Properties of Compacted Clay, Proc ASCE 100 (SM1) pp143-156
4. 宋永輝, 木村耕五 (1976): 風化泥岩等の土の非線形応力～ひずみ関係, 土会中綴録 年譜会, pp97-100

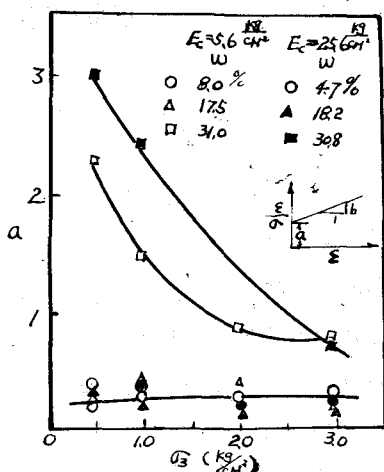


図-1 Relationship between σ_3 and $\frac{\epsilon_0}{\epsilon_3}$

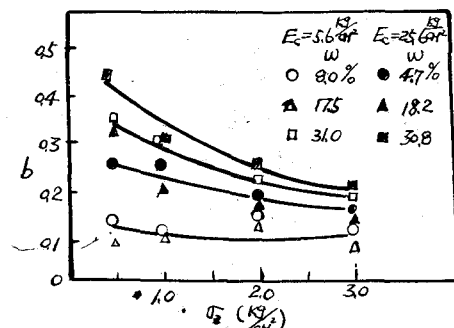


図-2 Relationship between σ_3 and $\frac{\epsilon_0}{\epsilon_1}$

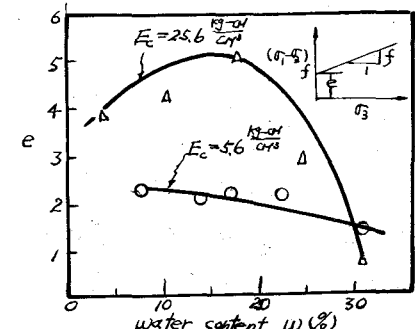


図-3 Relationship between W and $\frac{\epsilon_0}{\epsilon_3}$

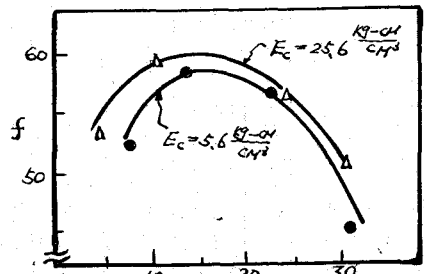


図-4 Relationship between W and $\frac{\epsilon_0}{\epsilon_1}$